

## تخمین پارامترهای کد کانولوشنال نرخ $k/n$ در شرایط نویزی

احمد قلی‌زاده سوته<sup>۱</sup>، دانشجوی دکتری، حسین خالقی بیزکی<sup>۲</sup>، دانشیار

۱- مجتمع دانشگاهی برق و الکترونیک - دانشگاه صنعتی مالک اشتر - تهران - ایران - soteh.soteh@gmail.com

۲- مجتمع دانشگاهی برق و الکترونیک - دانشگاه صنعتی مالک اشتر - تهران - ایران - hbizaki@gmail.com

**چکیده:** این مقاله به مسئله تخمین پارامترهای کد کانولوشنال از یک رشته دریافتی نویزی می‌پردازد. از بین روش‌هایی که تاکنون برای این مسئله پیشنهاد شده‌اند، روش تخمین مبتنی بر مرتبه، بیش‌ترین قسمت تحقیقات را به خود اختصاص داده است. در این روش گیرنده رشته دریافتی را به ازای طول‌های  $l = 1, \dots, l_{\max}$  به صورت سطری در ماتریس‌های  $l$ -ستونی  $C^{(l)}$  قرار داده و سپس پارامترهای کد را بر اساس مرتبه این ماتریس‌ها تعیین می‌کند. البته برای انجام این کار باید رابطه بین پارامترهای کد و مرتبه ماتریس‌های  $C^{(l)}$  مشخص باشد. در کارهای پیشین یک رابطه تجربی برای این کار پیشنهاد شد که البته در حالت کلی برقرار نیست. به همین دلیل در این مقاله ابتدا رابطه بین مرتبه ماتریس‌های  $C^{(l)}$  و پارامترهای کد به صورت تحلیلی تعیین شده و سپس بر مبنای آن الگوریتمی جامع برای تخمین پارامترهای کد کانولوشنال پیشنهاد می‌شود. در این الگوریتم از روش حذف گوسی با انتخاب رهبر سطری (GERP) برای تخمین مرتبه و فضای تهی ماتریس‌های  $C^{(l)}$  استفاده می‌شود. با توجه به اینکه این روش مبتنی بر حد آستانه است، در این مقاله یک حد آستانه مناسب بر مبنای قاعده تصمیم‌گیری حداقل-بیشینه نیز پیشنهاد خواهد شد.

**واژه‌های کلیدی:** کد کانولوشنال، تخمین پارامتر، مخابرات غیراشتراکی، کد دوگان، قید طول.

## Parameter Estimation of a Rate $k/n$ Convolutional Code in Noisy Case

A. Gholizadeh Soteh, Ph.D. Candidate<sup>1</sup>, H. Khaleghi Bizaki, Associate Professor<sup>2</sup>

1- Faculty of Electrical and Computer Engineering, Malek Ashtar University of Technology, Tehran, Iran, soteh.soteh@gmail.com

2- Faculty of Electrical and Computer Engineering, Malek Ashtar University of Technology, Tehran, Iran, bizaki@ee.iust.ac.ir

**Abstract:** This paper studies the problem of the convolutional code parameters estimation in noisy scenario. Among the methods that have been proposed for this problem, the rank-based method has attracted most of the research. In this method, the receiver cuts the received sequence up into vectors of length  $l$  to form the rows of matrix  $C^{(l)}$ , for  $l = 1, \dots, l_{\max}$ . The code parameters are estimated based on the rank of these matrices. To this end, the relation between the code parameters and the rank of  $C^{(l)}$  should be known. To do this, the previous works proposed an experimental relation; however, it is not established in the general case. This paper analytically computes the rank relation and proposes a method to extract the rate  $k/n$  convolutional code parameters. The method uses the Gaussian elimination with row pivoting (GERP) algorithm to estimate the rank and null space of  $C^{(l)}$ . The proposed algorithm is based on a threshold value. Hence, an appropriate threshold will be proposed based on the Minimax decision rule.

**Keywords:** Convolutional code, parameter estimation, non-cooperative communication, dual code, constraint length.

تاریخ ارسال مقاله: ۹۴/۹/۲

تاریخ اصلاح مقاله: ۹۴/۱۲/۲

تاریخ پذیرش مقاله: ۹۵/۲/۱۱

نام نویسنده مسئول: حسین خالقی بیزکی

نشانی نویسنده مسئول: ایران - تهران - تقاطع بزرگراه شهید بابایی و امام علی - دانشگاه صنعتی مالک اشتر - مجتمع دانشگاهی برق و الکترونیک

## ۱- مقدمه

کدهای تصحیح خطای یکی از اجزای اصلی سیستم‌های مخابراتی مدرن بوده و در بسیاری از کاربردهای عملی مورد استفاده قرار می‌گیرند. به‌عنوان مثال کد  $RS^1$  که یکی از معروف‌ترین کدهای تصحیح خطا است، به وفور در سیستم‌های ذخیره‌سازی داده استفاده می‌شود. یک کاربرد دیگر این کد در پنهان‌نگاری اطلاعات بر روی تصاویر ارسالی است. در این سیستم‌ها اطلاعات ارسالی پیش از پنهان‌نگاری توسط کد تصحیح خطا کد می‌شوند تا با تخریب‌های عمدی و یا غیرعمدی ایجادشده بر روی تصویر مقابله کند [۱]. با وجود گذشت نیم‌قرن از ابداع کدهای تصحیح خطا، کماکان تحقیقات بسیاری در زمینه کاربرد، طراحی و حتی بهینه‌سازی این کدها انجام می‌شود. به‌عنوان مثال محققین در [۲] الگوریتم جدیدی را برای کدگشایی کد LDPC<sup>۲</sup> که یکی از قدیمی‌ترین کدهای تصحیح خطا است، ارائه کرده‌اند.

در سیستم‌های مخابرات داده از کدهای تصحیح خطا برای مقابله با خطای کانال استفاده می‌شود. در این راستا فرستنده با استفاده از یک کدگذار مناسب چند بیت معنادار را به اطلاعات ارسالی اضافه می‌کند. در طرف گیرنده نیز یک کدگشای کانال مناسب از این افزونگی برای تشخیص و تصحیح خطای کانال بهره می‌برد. برای طراحی چنین کدگشایی باید پارامترهای کدگذار به‌طور کامل معلوم باشند. باین‌حال در برخی از کاربردهای عملی مانند مخابرات غیراشتراکی<sup>۳</sup>، گیرنده این اطلاعات را در اختیار ندارد. در این حالت گیرنده (کور) باید ابتدا پارامترهای کدگذار را از رشته دریافتی تخمین زده و سپس کدگشای مناسب را بر مبنای این پارامترها انتخاب کند. یکی از کاربردهای مهم این سیستم در گیرنده‌های رادیو-شناختی<sup>۴</sup> است. گیرنده رادیو-شناختی گیرنده‌ای کور است که خود را بر اساس پارامترهای تخمینی تنظیم می‌کند. یک کاربرد دیگر این سیستم در زمینه استراق سمع است که در آن کاربری غیرمجاز قصد دارد تا اطلاعات مبادله‌شده بین دو سیستم مخابراتی را شنود کند.

کد کانولوشنال<sup>۵</sup> یقیناً یکی از پرکاربردترین کدهای کانال است. این کد هم به‌صورت تنها، هم به‌صورت موازی با کدهای کانولوشنال دیگر و هم به‌صورت سریال با کدهای بلوکی به کار می‌رود. لذا در این مقاله سعی بر آن است تا به مسئله تخمین پارامترهای کدگذار کانولوشنال در شرایط نویزی پرداخته شود. تاکنون روش‌های معدودی برای حل این مسئله پیشنهاد شده است. برای اولین بار در [۳] روشی جبری برای تخمین پارامترهای کد کانولوشنال نرخ  $1/n$  در حالت غیرنویزی ارائه شد که محققین در [۴، ۵] آن را به نرخ  $k/n$  توسعه دادند. در [۶، ۷] از الگوریتم اقلیدسی<sup>۶</sup> برای تخمین ماتریس مولد کد کانولوشنال نرخ  $1/2$  در شرایط غیرنویزی استفاده شد. محققین در [۸] نیز یک روش مبتنی بر نسبت شبه‌نمایی لگاریتمی<sup>۷</sup> را برای تخمین کد کانولوشنال در شرایط نویزی ارائه دادند. در این روش که دارای پیچیدگی بسیار زیادی است، طول کلمات کد دریافتی باید از قبل معلوم باشد. پیچیدگی این روش تا حدودی در [۹] کاهش یافته است. البته این بهبود در ازای

محدود کردن فضای جستجوی پارامترهای کد حاصل شده است. در واقع این روش تنها صحت مجموعه‌ای از پارامترهای مفروض را بررسی می‌کند.

روش تخمین مبتنی بر مرتبه<sup>۸</sup> یکی از مؤثرترین و جامع‌ترین روش‌هایی که است که تاکنون زمینه تخمین پارامترهای کد کانولوشنال پیشنهاد شده است. علیرغم تمام روش‌هایی که در [۹-۳] پیشنهاد شده‌اند، این روش قادر است تمام پارامترهای کد کانولوشنال را با پیچیدگی بسیار پایین در شرایط نویزی تخمین بزند. این روش تاکنون بیش‌ترین قسمت تحقیقات را در زمینه تخمین پارامترهای کد کانولوشنال به خود اختصاص داده است. این روش نخستین بار در [۱۰] برای تعیین پارامترهای کد کانولوشنال نرخ  $(n-1)/n$  پیشنهاد شد. در این روش رشته دریافتی به ازای طول‌های  $l = 1, \dots, l_{\max}$  به صورت سطری در ماتریس‌های  $l$ -ستونی  $C^{(l)}$  قرار گرفته و سپس پارامترهای کد بر مبنای مرتبه این ماتریس‌ها محاسبه می‌شوند. البته برای انجام این کار باید رابطه بین پارامترهای کد و مرتبه ماتریس‌های  $C^{(l)}$  معلوم باشد. در این راستا محققین در [۱۰] رابطه‌ای تجربی را برای مرتبه ماتریس‌های  $C^{(l)}$  در کدهای نرخ  $(n-1)/n$  پیشنهاد دادند. در [۱۱] نیز این رابطه تجربی بدون ارائه هیچگونه اثبات ریاضی به نرخ  $k/n$  تعمیم داده شد. در ادامه محققین در [۱۴-۱۲] روش تخمین مبتنی بر مرتبه را به حالت نویزی توسعه دادند. آن‌ها برای انجام این کار از روشی موسوم به حذف گوسی با انتخاب رهبر سطری<sup>۹</sup> (GERP) برای تخمین مرتبه ماتریس‌های  $C^{(l)}$  در شرایط نویزی استفاده کردند. در [۱۵، ۱۶] از این روش برای تعیین پارامترهای کد کانولوشنال سوراخ‌شده<sup>۱۰</sup> استفاده شد. مراجع [۱۷، ۱۸] نیز عملکرد این روش را بر مبنای قاعده تصمیم‌گیری نرم بهبود دادند.

لازم به ذکر است که الگوریتم‌های پیشنهادی در [۱۸-۱۰] کاملاً بر پایه روابط تجربی ارائه‌شده در [۱۰، ۱۱] استوار هستند. باین‌حال در [۱۹] با ارائه مثال‌های نقضی ثابت شد که این روابط تجربی برای کدهای نرخ  $k/n$  برقرار نیستند. این مسئله صحت الگوریتم‌هایی که در کارهای پیشین برای تخمین پارامترهای کد کانولوشنال نرخ  $k/n$  پیشنهاد شد را زیر سوال می‌برد.

با توجه به مطالب فوق، یافتن مرتبه ماتریس‌های  $C^{(l)}$  در نرخ  $k/n$  مسئله‌ای بسیار مهم در تخمین پارامترهای کد کانولوشنال است که تاکنون به‌طور کامل حل نشده است. لذا در این مقاله ابتدا رابطه‌ای تحلیلی و جامع برای مرتبه ماتریس‌های  $C^{(l)}$  پیشنهاد می‌شود. این رابطه که بر پایه خواص جبری کد کانولوشنال حاصل می‌شود [۲۲-۲۰]، وابستگی بین مرتبه ماتریس‌های  $C^{(l)}$  و پارامترهای کد کانولوشنال نرخ  $k/n$  را به‌طور کامل آشکار می‌کند. به علاوه این رابطه ثابت می‌کند که رابطه مورد استفاده در کارهای پیشین تنها به ازای کدهای نرخ  $(n-1)/n$  برقرار است. سپس بر مبنای این رابطه تحلیلی، الگوریتمی جامع برای تخمین پارامترهای کد کانولوشنال نرخ  $k/n$  پیشنهاد می‌شود. البته این روش نیز نیازمند تخمین مرتبه ماتریس‌های

ماتریس مولد دیگر نیز یافت که فضای  $C$  را تولید می کنند. ما مجموعه این ماتریس های مولد معادل را با  $\mathbb{G}_C$  نشان می دهیم.

فرض کنید  $\mathcal{R}_G$  مجموعه ای شامل تمام سطرهای ماتریس  $G(D)$  باشد. اگر به ازای هر ماتریس  $G(D) \in \mathbb{G}_C$  رابطه زیر برقرار باشد، آنگاه به ماتریس مولد  $G_m(D)$  کمین-پایه<sup>۱۲</sup> گفته می شود [۲۱، ۲۰]:

$$\sum_{C(D) \in \mathcal{R}_G} \deg(C(D)) \geq \sum_{C_m(D) \in \mathcal{R}_{G_m}} \deg(C_m(D)) \quad (4)$$

در این رابطه  $\deg(C(D))$  برابر با بزرگترین درجه چندجمله ای در بردار  $C(D)$  است. ما  $\mathcal{R}_{G_m}$  را یک مجموعه کمین-پایه برای فضای کد  $C$  نامیده و بردارهای آن را به ترتیب از کمترین درجه به بیشترین درجه شماره گذاری می کنیم. اگر  $C_m^i(D)$   $i$  امین بردار در مجموعه  $\mathcal{R}_{G_m}$  باشد، آنگاه قیود طول<sup>۱۳</sup> فضای کد  $C$  به صورت زیر تعریف می شوند [۲۱، ۲۰]:

$$\mu_i = \deg(C_m^i(D)) \quad ; \quad i = 1, \dots, k \quad (5)$$

متعاقباً قید طول بیشینه و قید طول مجموع به صورت زیر قابل تعریف هستند:

$$\mu = \max_{i=1, \dots, k} \mu_i \quad (6)$$

$$\nu = \sum_{i=1}^k \mu_i \quad (7)$$

توجه داشته باشید که قیود طول در حقیقت جزئی از پارامترهای فضای کد بوده و به نوع کدگذار بستگی ندارند. به همین دلیل غالباً کد کانولوشنال  $C$  را به صورت  $C(n, k, \nu)$  نمایش می دهند.

فرض کنید  $C^+$  فضای دوگان کد  $C$  باشد. آنگاه  $C^+$  نیز یک کد کانولوشنال با ابعاد  $n-k$  و قید طول مجموع  $\nu$  است [۲۱، ۲۰]. در نتیجه اگر  $\mu_i^+$  قیود طول فضای  $C^+$  باشند، خواهیم داشت:

$$\nu = \sum_{i=1}^k \mu_i = \sum_{i=1}^{n-k} \mu_i^+ \quad (8)$$

قید طول بیشینه در فضای  $C^+$  با  $\mu^+$  نشان داده می شود؛ یعنی فرض کنید  $\mathbb{H}_C = \mu^+ = \mu_{n-k}^+$ . مجموعه تمام ماتریس های بررسی توازن<sup>۱۴</sup> فضای کد  $C$  (و یا مجموعه تمام ماتریس های مولد فضای کد  $C^+$ ) باشد. آنگاه به ازای ماتریس های  $G(D) \in \mathbb{G}_C$  و  $H(D) \in \mathbb{H}_C$  رابطه زیر برقرار است:

$$G(D).H^T(D) = \mathbf{0}_{k \times n-k} \quad (9)$$

بالا نویس  $T$  در این رابطه عملگر ترانپوز بوده و  $\mathbf{0}_{k \times n-k}$  نیز یک ماتریس صفر با ابعاد  $k \times n-k$  است. همچنین برای هر بردار  $H(D) \in C^+$  داریم:

$$G(D).H^T(D) = \mathbf{0}_{k \times 1} \quad (10)$$

فرض کنید  $G(D) \in \mathbb{G}_C$  یک ماتریس مولد با درجه بیشینه  $m$  بوده و  $g_{ij}(D) = g_{ij}^0 + g_{ij}^1 D + \dots + g_{ij}^m D^m$  نیز مؤلفه  $(i, j)$  ام آن باشد. آنگاه ماتریس چندجمله ای مولد  $G(D)$  می تواند به شکل زیر در قالب یک ماتریس نیمه-نامتناهی باینری توصیف شود [۲۲]:

$C^{(l)}$  در شرایط نویزی است که ما برای انجام این کار از روش GERP استفاده می کنیم. با توجه به اینکه این روش در کارهای پیشین با اندکی ابهام ارائه شده است، این مقاله در بخشی مجزا به معرفی این روش پرداخته و شرایط لازم برای عملکرد صحیح آن را بیان می کند. به علاوه یک حد آستانه مناسب بر مبنای قاعده تصمیم گیری حداقل-بیشینه<sup>۱۱</sup> برای این روش پیشنهاد می شود.

این مقاله در ادامه به این صورت تنظیم شده است؛ در بخش ۲ مهم ترین خواص کد کانولوشنال به طور مختصر بیان می شوند. سپس بخش ۳ به تشریح مسائل مطرح در زمینه تخمین پارامترهای کد کانولوشنال نرخ  $k/n$  در شرایط نویزی می پردازد. در بخش ۴ روش GERP به طور مختصر معرفی شده و یک حد آستانه مناسب برای آن پیشنهاد می شود. در بخش ۵ یک رابطه تحلیلی جامع برای مرتبه ماتریس های  $C^{(l)}$  در نرخ  $k/n$  ارائه خواهد شد. سپس در بخش ۶ الگوریتمی جامع برای تخمین پارامترهای کد کانولوشنال پیشنهاد می شود. به منظور ارزیابی الگوریتم پیشنهادی، در بخش ۷ چند مثال شبیه سازی به همراه منحنی های عملکرد ارائه می شود. نهایتاً بخش ۸ نتایج این مقاله را به طور مختصر جمع بندی می کند.

## ۲- توصیف ریاضی کد کانولوشنال

حافظه یکی از مهم ترین مشخصه های کدگذارهای کانولوشنال است. بر خلاف کدگذارهای بلوکی، خروجی یک کدگذار کانولوشنال در هر لحظه به ورودی در لحظات قبلی بستگی دارد. به همین دلیل معمولاً کدگذارهای کانولوشنال را با ماتریس های چندجمله ای مولد نمایش می دهند. در این روش نمایش، یک کدگذار کانولوشنال نرخ  $k/n$  می تواند با ماتریس چندجمله ای مولد زیر توصیف شود:

$$G(D) = \begin{bmatrix} g_{11}(D) & \dots & g_{1n}(D) \\ \vdots & \ddots & \vdots \\ g_{k1}(D) & \dots & g_{kn}(D) \end{bmatrix} \quad (1)$$

که در آن  $D$  عملگر تأخیر و  $g_{ij}(D)$  تابع انتقال بین ورودی  $i$ ام و خروجی  $j$ ام کدگذار است. اگر بین ورودی  $i$ ام و خروجی  $j$ ام کدگذار بازخورد وجود داشته باشد، آنگاه مؤلفه  $g_{ij}(D)$  کسری خواهد بود.

فرض کنید  $u_i(D)$  و  $c_j(D)$  به ترتیب چندجمله ای های متناظر با رشته ورودی  $i$ ام و رشته خروجی  $j$ ام باشند. آنگاه اگر بردارهای چندجمله ای ورودی و خروجی کدگذار را به ترتیب با  $U(D) = [u_1(D) \dots u_k(D)]$  و  $C(D) = [c_1(D) \dots c_n(D)]$  نمایش دهیم، فرآیند کدگذاری می تواند به صورت زیر نوشته شود [۲۱، ۲۰]:

$$C(D) = U(D).G(D) \quad (2)$$

مجموعه بردارهای تولید شده توسط  $G(D)$  یک فضای چندجمله ای  $k$ -بعدی را به صورت زیر ایجاد می کند:

$$C = \{U(D).G(D) \mid \forall U(D) \in \mathbb{F}_2^k(D)\} \quad (3)$$

که در آن  $\mathbb{F}_2^k(D)$  میدان چندجمله ای های باینری  $k$ -تایی است. توجه داشته باشید که سطرهای  $G(D)$  در حقیقت مجموعه ای پایه را برای فضای کد  $C$  تشکیل می دهند. با توجه به این نکته می توان چندین

فرض کنید  $L$  طول بردار  $C$  بوده و  $c_i$  نیز مؤلفه نام آن باشد. آنگاه

به ازای هر مقدار  $(\frac{L}{l_{max}} \geq 2l_{max})$   $l=1, \dots, l_{max}$  می توان بردار  $C$  را به شکل زیر به بردارهایی با طول  $l$  تفکیک کرد:

$$C_i^{(l)} = [c_{(i-1)l+1} \dots c_{il}]^T \quad ; \quad i=1, 2, \dots, \left\lfloor \frac{L}{l} \right\rfloor \quad (15)$$

سپس به ازای هر یک از طول های  $l=1, \dots, l_{max}$ ، ماتریس  $C^{(l)}$  با

ابعاد  $\left\lfloor \frac{L}{l} \right\rfloor \times l$  ساخته می شود:

$$C^{(l)} = [C_1^{(l)} C_2^{(l)} \dots C_{\lfloor \frac{L}{l} \rfloor}^{(l)}]^T \quad (16)$$

ماتریس  $C^{(l)}$  یک ماتریس خروجی نامیده می شود. برای نخستین بار در [۱۰] نشان داده شد که بین مرتبه ماتریس های خروجی و پارامترهای کد رابطه معناداری وجود دارد. بر این اساس ماتریس های خروجی می توانند برای تعیین پارامترهای کد استفاده شوند. البته برای انجام این کار باید ابتدا به سوال زیر پاسخ داده شود:

**سوال ۱:** رابطه بین پارامترهای فضای کد  $C$  و ماتریس های خروجی  $C^{(l)}$ ،  $l=1, \dots, l_{max}$  چیست؟

در پاسخ به این سوال رابطه ای تجربی در [۱۱، ۱۰] برای مرتبه ماتریس های خروجی پیشنهاد شد. این رابطه به طور مکرر در تحقیقات بعدی نیز مورد استفاده قرار گرفته است [۱۹-۱۰]. اما همان گونه که پیش از این نیز اشاره شد، این رابطه برای کدهای نرخ  $k/n$  برقرار نیست. به همین دلیل این رابطه به صورت کاملاً تحلیلی در بخش ۵ محاسبه می شود.

حال فرض کنید که کانال انتقال بدون نویز باشد. در این حالت گیرنده یک نسخه بدون خطا از تمام ماتریس های خروجی  $C^{(l)}$  را در اختیار دارد. لذا گیرنده به راحتی می تواند مرتبه تمام ماتریس های خروجی را تعیین کند. در این حالت تنها باید به سوال زیر پاسخ داده شود:

**سوال ۲:** چگونه می توان پارامترهای فضای کد  $C$  را از مرتبه ماتریس های خروجی  $C^{(l)}$ ،  $l=1, \dots, l_{max}$  تعیین کرد؟

در مراجع [۱۸-۱۰] روش هایی بر مبنای رابطه تجربی مرتبه در پاسخ به این سوال پیشنهاد شده است. اما تمام این روش ها تنها به ازای کدهای نرخ  $(n-1)/n$  کارایی دارند؛ زیرا رابطه تجربی مرتبه تنها در نرخ  $(n-1)/n$  برقرار است. به همین دلیل در بخش ۶ الگوریتمی جامع را برای تخمین پارامترهای کد کانولوشنال نرخ  $k/n$  پیشنهاد می شود.

حال یک کانال انتقال نویزی را در نظر بگیرید. در این حالت گیرنده یک نسخه تغییر یافته از ماتریس های خروجی را به شکل زیر در اختیار دارد:

$$Y^{(l)} = C^{(l)} + E^{(l)} \quad ; \quad l=1, \dots, l_{max} \quad (17)$$

در این رابطه  $Y^{(l)}$  و  $E^{(l)}$  به ترتیب ماتریس های متناظر با بردار دریافتی  $Y$  و بردار خطای  $E$  هستند. در این حالت یک سوال جدید مطرح می شود:

$$G = \begin{bmatrix} G_0 & G_1 & G_2 & \dots & G_m & 0 & 0 & \dots \\ & G_0 & G_1 & \dots & G_{m-1} & G_m & 0 & \dots \\ & & G_0 & \dots & G_{m-2} & G_{m-1} & G_m & \dots \\ & & & \ddots & \vdots & \vdots & \vdots & \dots \\ & & & & G_0 & G_1 & G_2 & \dots \\ & & & & & G_0 & G_1 & \dots \\ & & & & & & G_0 & \dots \\ & & & & & & & \ddots \\ & & & & & & & & G_0 & \dots \\ & & & & & & & & & \ddots \end{bmatrix} \quad (11)$$

که در آن  $G_i$  زیرماتریسی با ابعاد  $k \times n$  است که به صورت زیر تعریف می شود:

$$G_i = \begin{bmatrix} g_{i1}^i & \dots & g_{in}^i \\ \vdots & \ddots & \vdots \\ g_{k1}^i & \dots & g_{kn}^i \end{bmatrix} \quad ; \quad i=1, \dots, m \quad (12)$$

در این شیوه نمایش، رابطه (۲) می تواند به شکل زیر بازنویسی شود:

$$C = U \cdot G \quad (13)$$

که در آن  $U$  و  $C$  به ترتیب بردارهای متناظر با رشته های سریال ورودی و خروجی کدگذار هستند.

### ۳- بیان مسئله

فرض کنید  $C$  بردار باینری متناظر با رشته خروجی یک کدگذار کانولوشنال نرخ  $k/n$  با ماتریس مولد  $G(D)$  باشد. این بردار از طریق یک کانال نویزی به کدگشای کانال در گیرنده کور وارد می شود (منظور از کانال مجموعه تمام بلوک هایی هستند که بین کدگذار در فرستنده و کدگشا در گیرنده قرار می گیرند، مانند مدولاتور، کانال انتقال فیزیکی، دمدولاتور و ...). لذا بردار دریافتی یک نسخه تغییر یافته بردار  $C$  است که می تواند به شکل زیر نوشته شود:

$$Y = C + E \quad (14)$$

در این رابطه  $E$  بردار خطای حاصل از کانال نویزی است. گیرنده باید بر مبنای بردار  $Y$  تمام پارامترهای کدگذار کانولوشنال (مانند  $n$  و  $k$  و  $\nu$ ) را تخمین بزند. اما پیش از آن باید نحوه تعیین پارامترهای کد از روی بردار خروجی  $C$  مشخص شود؛ زیرا رشته دریافتی  $Y$  یک نسخه تغییر یافته بردار  $C$  است. ابتدا توجه داشته باشید که هر بردار  $C$  متناظر با یک بردار چند جمله ای در فضای کد  $C(n, k, \nu)$  است. در نتیجه از خروجی کدگذار (و متعاقباً از رشته دریافتی) می توان حداکثر پارامترهای فضای کد  $C$  را تعیین کرد. این پارامترها عبارت اند از طول کلمات کد  $(n)$ ، ابعاد فضای کد  $(k)$  و قید طول مجموع  $(\nu)$ . البته ماتریس مولد کدگذار در این مجموعه قرار نمی گیرد؛ زیرا به ازای هر کد چندین ماتریس مولد معادل وجود دارند. لذا ماتریس مولد کدگذار از روی رشته های دریافتی قابل تشخیص نبوده و در بهترین حالت می توان یک ماتریس معادل با  $G(D)$  را یافت؛ به عنوان مثال امکان تشخیص ماتریس مولد سیستماتیک وجود دارد. تخمین ماتریس مولد سیستماتیک به دلیل کاربرد وسیع آن از اهمیت ویژه ای برخوردار است.

در این رابطه  $\mathbf{P}^{(l)}$  ماتریسی با ابعاد  $L \times L$  است که جایجایی مناسب سطرهای رهبر را به بالای ماتریس انجام می‌دهد. ماتریس بالا-مثلثی  $\mathbf{Q}^{(l)}$  نیز ماتریسی با ابعاد  $l \times l$  است که عملیات ستونی لازم برای تبدیل  $\mathbf{Y}^{(l)}$  به ماتریس پایین-مثلثی  $\hat{\mathbf{Y}}^{(l)}$  را نشان می‌دهد. اگر مرتبه ماتریس  $\mathbf{Y}^{(l)}$  کامل باشد، هیچکدام از ستون‌های ماتریس  $\hat{\mathbf{Y}}^{(l)}$  تمام-صفر نیستند؛ ولی اگر مرتبه برابر با  $r_l < l$  باشد، انتظار می‌رود که دقیقاً  $l - r_l$  ستون ماتریس  $\hat{\mathbf{Y}}^{(l)}$  تمام-صفر باشند. حال فرض کنید که ستون  $i$ ام ماتریس  $\hat{\mathbf{Y}}^{(l)}$  تمام-صفر بوده و  $Q_i$  نیز ستون  $i$ ام ماتریس  $\mathbf{Q}^{(l)}$  باشد. در این صورت بر طبق رابطه (۱۸) خواهیم داشت:

$$\mathbf{Y}^{(l)} \mathbf{Q}_i = \mathbf{0}_{l \times k} \quad (19)$$

با توجه به این رابطه می‌توان گفت که بردار  $Q_i$  در فضای تهی ماتریس‌های  $\mathbf{Y}^{(l)}$  و  $\mathbf{C}^{(l)}$  قرار دارد. لذا از این ویژگی ساده می‌توان برای تخمین مرتبه و فضای تهی ماتریس‌های خروجی در شرایط غیرنویزی استفاده کرد.

در حالت نویزی، روش فوق با چند چالش جدی روبرو می‌شود. فرض کنید رشته دریافتی نویزی بوده و بردار  $Q$  نیز متعلق به فضای تهی ماتریس  $\mathbf{C}^{(l)}$  باشد. آنگاه با توجه به رابطه (۱۹) می‌توان نوشت:

$$S = \mathbf{Y}^{(l)} Q = (\mathbf{C}^{(l)} + \mathbf{E}^{(l)}) Q = \mathbf{E}^{(l)} Q \quad (20)$$

اگر  $s_i$  مؤلفه  $i$ ام بردار  $S$  باشد، آنگاه خواهیم داشت:

$$s_i = Y_i^{(l)} Q = (C_i^{(l)} + E_i^{(l)}) Q = E_i^{(l)} Q \quad (21)$$

در این رابطه  $Y_i^{(l)}$  و  $E_i^{(l)}$  به ترتیب سطرهای  $i$ ام ماتریس‌های  $\mathbf{Y}^{(l)}$  و  $\mathbf{E}^{(l)}$  هستند. حال فرض کنید که  $w$  تعداد عناصر غیرصفر (وزن همینگ  $h$ ) بردار  $Q$  باشد. همچنین فرض کنید عناصر غیرصفر  $Q$  در محل‌های  $j_1, j_2, \dots, j_w$  قرار داشته باشند. در این صورت رابطه (۲۱) می‌تواند به صورت زیر نوشته شود:

$$s_i = e_{i,j_1}^{(l)} + e_{i,j_2}^{(l)} + \dots + e_{i,j_w}^{(l)} \quad (22)$$

که در آن  $e_{i,j}^{(l)}$  مؤلفه  $j$ ام بردار  $E_i^{(l)}$  است. در نتیجه اگر تعداد خطاها در محل‌های  $j_1, j_2, \dots, j_w$  عددی زوج باشد، مقدار  $s_i$  برابر با صفر و در غیر این صورت برابر با یک می‌شود.

**سوال ۳:** چگونه می‌توان مرتبه ماتریس خروجی  $\mathbf{C}^{(l)}$  را از ماتریس دریافتی نویزی  $\mathbf{Y}^{(l)}$  تعیین کرد؟

الگوریتم GERP پاسخ بسیار مناسبی برای این سوال است. این روش برای اولین بار در [۱۰] پیشنهاد شده و در کارهای بعدی نیز مورد استفاده قرار گرفته است. این روش به طور مختصر در بخش ۴ معرفی می‌شود.

مسئله تخمین کدگذار کانولوشنال به صورت کاملاً شماتیک در شکل ۱ رسم شده است. این شکل جایگاه مسائل طرح شده در این بخش را به طور واضح مشخص می‌کند.

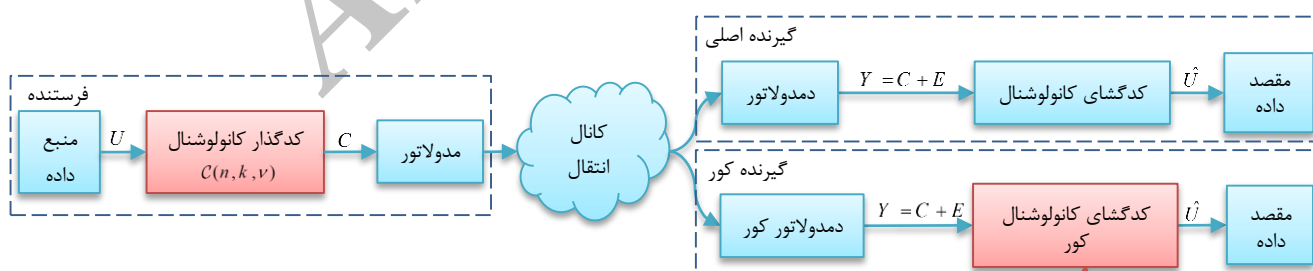
#### ۴- تخمین مرتبه و فضای تهی ماتریس‌های خروجی

الگوریتمی که در این مقاله برای تخمین پارامترهای کد کانولوشنال پیشنهاد خواهد شد، نیازمند تخمین مرتبه و فضای تهی ماتریس‌های خروجی است. ما برای تخمین این پارامترها از روش GERP استفاده می‌کنیم. این روش در زیربخش‌های پیش‌رو به طور کامل توضیح داده شده و شرایط لازم برای عملکرد صحیح آن بیان می‌شود. همچنین یک حد آستانه مناسب بر مبنای قاعده تصمیم‌گیری حداقل-بیشینه برای آن پیشنهاد می‌شود.

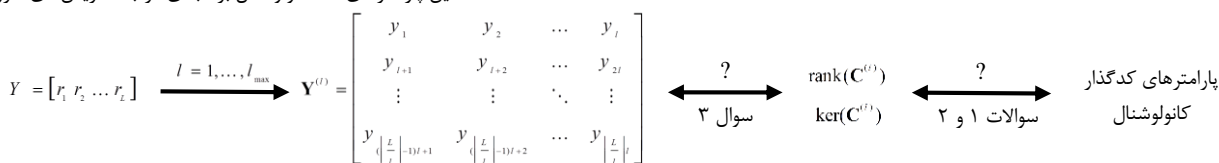
#### ۴-۱- روش GERP

برای توضیح بهتر این روش، ابتدا حالت غیرنویزی بررسی می‌شود. در حالت بدون نویز، ماتریس دریافتی  $\mathbf{Y}^{(l)}$  برابر با ماتریس خروجی  $\mathbf{C}^{(l)}$  است. در روش GERP، عملیات حذف گوسی به صورت ستونی بر روی ماتریس  $\mathbf{Y}^{(l)}$  اعمال شده و آن را به ماتریس پایین-مثلثی  $\hat{\mathbf{Y}}^{(l)}$  تبدیل می‌کند. البته در این روش انتخاب عناصر رهبر  $l^o$  به صورت سطری انجام می‌شود (یک عنصر رهبر مؤلفه‌ای است که از آن برای صفر کردن سایر مؤلفه‌های سطر استفاده می‌شود). این عملیات می‌تواند به صورت ماتریسی زیر نمایش داده شود [۱۰، ۱۱]:

$$\hat{\mathbf{Y}}^{(l)} = \mathbf{P}^{(l)} \cdot \mathbf{Y}^{(l)} \cdot \mathbf{Q}^{(l)} \quad (18)$$



مسئله تخمین پارامترهای کد کانولوشنال بر مبنای مرتبه ماتریس‌های خروجی

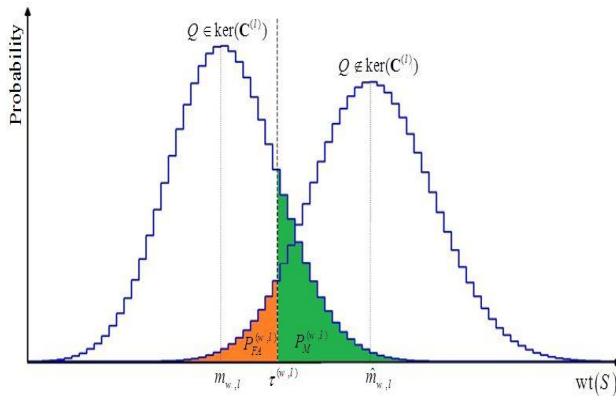


شکل ۱: ترسیم مسئله تخمین پارامترهای کدگذار کانولوشنال با استفاده از روش تخمین مبتنی بر مرتبه

$$\mathbf{P}^{(l)}\mathbf{Y}^{(l)} = \begin{bmatrix} \mathbf{Y}_s^{(l)} \\ \mathbf{Y}_r^{(l)} \end{bmatrix} \quad (27)$$

آنگاه واضح است که عملیات حذف گوسی تنها بر مبنای سطرهای زیرماتریس انجام می‌شود. پس ستون‌های ماتریس  $\mathbf{Q}^{(l)}$  تنها به زیرماتریس  $\mathbf{Y}_s^{(l)}$  وابسته هستند. لذا لازمه عملکرد صحیح الگوریتم GERP آن است که زیرماتریس  $\mathbf{Y}_s^{(l)}$  تا حد ممکن بدون خطا باشد. البته احتمال برقراری این شرط با افزایش قدرت نویز کانال و همچنین ابعاد زیرماتریس  $\mathbf{Y}_s^{(l)}$  کاهش می‌یابد. یک روش ساده برای کاهش این اثر، انتخاب زیرماتریس‌های مختلف از ماتریس  $\mathbf{Y}^{(l)}$  است [۱۲، ۱۳]. برای انجام این کار می‌توان سطرهای ماتریس  $\mathbf{Y}^{(l)}$  را قبل از انجام عملیات حذف گوسی به صورت تصادفی جابه‌جا کرد.

نهایتاً باید اشاره شود که پیچیدگی محاسباتی روش GERP برای تخمین فضای تهی  $\mathbf{C}^{(l)}$  از درجه  $\mathcal{O}\left(\left[\frac{L}{l}\right], l^2\right)$  است؛ زیرا ستون‌های  $\left[\frac{L}{l}\right]$ -بیتی ماتریس  $\mathbf{Y}^{(l)}$  حداکثر  $\frac{l(l+1)}{2}$  بار با هم ترکیب می‌شوند. البته برای محاسبه پیچیدگی کل باید این مقدار را در تعداد دفعاتی که الگوریتم حذف گوسی تکرار می‌شود، ضرب نمود.



شکل ۲: توزیع‌های احتمال وزن همینگ بردار  $S$

#### ۲-۴- پیشنهاد حد آستانه بر مبنای قاعده تصمیم‌گیری حداقل-بیشینه

فرض کنید  $P_{FA}^{(w,l)}$  احتمال این پیشامد باشد که یک بردار با وزن همینگ  $w$  اشتباهاً به عنوان یک بردار فضای تهی ماتریس  $\mathbf{C}^{(l)}$  معرفی شود. اگر یک بردار متعلق به فضای تهی  $\mathbf{C}^{(l)}$  نباشد، وزن همینگ بردار  $S$  آن دارای توزیع  $\mathcal{B}\left(\left[\frac{L}{l}\right], \frac{1}{2}\right)$  است. لذا احتمال  $P_{FA}^{(w,l)}$  می‌تواند به صورت زیر نوشته شود:

$$P_{FA}^{(w,l)} = F\left(\tau^{(w,l)}, \left[\frac{L}{l}\right], \frac{1}{2}\right) = \left(\frac{1}{2}\right)^{\left[\frac{L}{l}\right]} \sum_{z=0}^{\tau^{(w,l)}} \binom{\left[\frac{L}{l}\right]}{z} \quad (28)$$

که در آن  $\tau^{(w,l)}$  حد آستانه متناظر با بردارهایی است که دارای وزن همینگ  $w$  هستند.  $F\left(\tau^{(w,l)}, \left[\frac{L}{l}\right], \frac{1}{2}\right)$  نیز تابع توزیع تجمعی متناظر با

حال اگر کانال انتقال به صورت یک کانال باینری متقارن  $^{1V}$  (BSC) با احتمال خطای  $\varepsilon$  در نظر گرفته شود، احتمال یک بودن مؤلفه  $s_i$  (و یا فرد بودن تعداد خطاها) برابر با رابطه زیر می‌شود:

$$\varepsilon_s^{(w)} = \Pr(s_i = 1) = 1 - \sum_{t=0}^{\left[\frac{w}{2}\right]} \binom{w}{2t} \varepsilon^{2t} (1-\varepsilon)^{l-2t} \quad (23)$$

با اندکی محاسبات ریاضی می‌توان این رابطه را به شکل زیر ساده کرد:

$$\varepsilon_s^{(w)} = \frac{1 - (1 - 2\varepsilon)^w}{2} \quad (24)$$

متعاقباً با توجه به اینکه متغیرهای تصادفی  $s_i, i = 1, 2, \dots, \left[\frac{L}{l}\right]$  دویه‌دو نسبت به هم مستقل هستند، رابطه احتمال زیر حاصل می‌شود:

$$\Pr(\text{wt}(S) = z) = \binom{\left[\frac{L}{l}\right]}{z} (\varepsilon_s^{(w)})^z (1 - \varepsilon_s^{(w)})^{\left[\frac{L}{l}\right] - z} \quad (25)$$

که در آن  $\text{wt}(\cdot)$  وزن همینگ بردار موردنظر را نشان می‌دهد. در نتیجه وزن همینگ بردار  $S$  دارای یک توزیع دوجمله‌ای  $^{1A}$  با میانگین  $m_{w,l} = \left[\frac{L}{l}\right] \cdot \varepsilon_s^{(w)}$  و واریانس  $\sigma_{w,l}^2 = \left[\frac{L}{l}\right] \cdot \varepsilon_s^{(w)} (1 - \varepsilon_s^{(w)})$  است. توجه داشته باشید که روابط (۲۵-۲۶) تنها در صورتی برقرار هستند که بردار  $Q$  متعلق به فضای تهی ماتریس  $\mathbf{C}^{(l)}$  باشد. در مقابل اگر بردار  $Q$  متعلق به فضای تهی  $\mathbf{C}^{(l)}$  نباشد، می‌توان به سادگی نشان داد که  $\text{wt}(S)$  دارای یک توزیع دوجمله‌ای با میانگین  $\hat{m}_{w,l} = \left[\frac{L}{l}\right] / 2$  و واریانس  $\hat{\sigma}_{w,l}^2 = \left[\frac{L}{l}\right] / 4$  است ( $\hat{\varepsilon}_s^{(w)} = \frac{1}{2}$ ). لذا  $\text{wt}(S)$  در حالت کلی می‌تواند دارای توزیع‌های احتمال زیر باشد:

$$\text{wt}(S) \sim \begin{cases} \mathcal{B}\left(\left[\frac{L}{l}\right], \varepsilon_s^{(w)}\right) & ; Q \in \ker(\mathbf{C}^{(l)}) \\ \mathcal{B}\left(\left[\frac{L}{l}\right], \frac{1}{2}\right) & ; Q \notin \ker(\mathbf{C}^{(l)}) \end{cases} \quad (26)$$

که در آن  $\ker(\mathbf{C}^{(l)})$  فضای تهی ماتریس  $\mathbf{C}^{(l)}$  بوده و  $\mathcal{B}(\cdot, \cdot)$  نیز نشان‌دهنده یک توزیع دوجمله‌ای است. توزیع‌های احتمال  $\text{wt}(S)$  در شکل ۲ رسم شده‌اند. همان‌گونه که در این شکل نیز دیده می‌شود، از تفاوت بین توزیع‌های احتمال  $\text{wt}(S)$  می‌توان برای تشخیص بردارهای فضای تهی ماتریس  $\mathbf{C}^{(l)}$  استفاده کرد. برای انجام این کار باید یک حد آستانه بین مقادیر  $m_{w,l}$  و  $\hat{m}_{w,l}$  انتخاب شده و با وزن همینگ بردار  $S$  مقایسه شود. اگر مقدار  $\text{wt}(S)$  کمتر از حد آستانه باشد، بردار  $Q$  به عنوان بردار تهی ماتریس  $\mathbf{C}^{(l)}$  معرفی می‌شود.

در روش GERP ستون‌های ماتریس  $\mathbf{Q}^{(l)}$  مورد آزمایش حد آستانه قرار می‌گیرند. لذا تشخیص صحیح هر بردار تهی مشروط به حضور آن در یکی از ستون‌های ماتریس  $\mathbf{Q}^{(l)}$  است. فرض کنید  $\mathbf{Y}_s^{(l)}$  زیرماتریسی شامل  $l$  سطر اول ماتریس  $\mathbf{P}^{(l)}\mathbf{Y}^{(l)}$  (ماتریس  $\mathbf{Y}^{(l)}$  بعد از جابجایی سطرها) باشد؛ یعنی:

مقدار ۱۰ بیش تر باشند (البته در برخی مسائل از مقدار ۵ نیز استفاده می شود). لذا در صورت برقراری شرط  $\left[\frac{L}{l}\right] \varepsilon_s^{(w)} > 10$  می توان رابطه (۳۱) را به شکل زیر تقریب زد:

$$Q\left(\frac{\tau^{(w,l)} - \hat{m}_{w,l}}{\hat{\sigma}_{w,l}}\right) \approx 1 - Q\left(\frac{\tau^{(w,l)} - m_{w,l}}{\sigma_{w,l}}\right) \quad (33)$$

که در آن تابع  $Q(x)$  به صورت زیر تعریف می شود:

$$Q(x) = \frac{1}{\sqrt{2\pi}} \int_x^\infty e^{-\frac{x^2}{2}} dx \quad (34)$$

با حل معادله (۳۳)، مقدار تقریبی حد آستانه بر مبنای قاعده تصمیم گیری حداقل-بیشینه به صورت زیر حاصل می شود:

$$\tau_{MM}^{(w,l)} \approx \left[\frac{L}{l}\right] \times \left(\frac{1}{2} + \frac{\sqrt{1 - (1 - 2\varepsilon)^w} - 1}{2 \cdot (1 - 2\varepsilon)^w}\right) \quad (35)$$

### ۵- استخراج رابطه تحلیلی مرتبه ماتریس های خروجی

همان گونه که پیش از این نیز اشاره شد، رابطه مرتبه پیشنهاد شده در [۱۱، ۱۰] در حالت کلی برقرار نیست. نقص این رابطه، صحت الگوریتم هایی را که در [۱۰-۱۸] پیشنهاد شده اند را زیر سوال می برد. لذا در این بخش سعی شده است تا مرتبه ماتریس های خروجی به صورت کاملاً تحلیلی محاسبه شود.

فرض کنید که  $U$  بردار سریال ورودی کدگذار بوده و  $U_s$  نیز  $km$  آمین نسخه تأخیریافته آن باشد؛ یعنی  $U_s = [0_{k \times 1} \ U]$ . آنگاه به ازای طول های  $\left[\frac{l_{max}}{n}\right]$  می توان بردار  $U_s$  را به بردارهای  $l$  تایی زیر تقسیم کرد:

$$U_i^{(l)} = [u_s^{(i-1)l+1} \dots u_s^{il}]^T \quad ; \quad i = 1, 2, \dots, \left[\frac{L}{l}\right] \quad (36)$$

که در آن  $u_s^i$  مؤلفه  $i$ ام بردار  $U_s$  است. با توجه به این تعریف، رابطه (۱۳) می تواند به صورت زیر تفکیک شود:

$$C_i^{(l)} = U_i^{(l)} \cdot \mathbf{G}^{(p)} \quad ; \quad i = 1, \dots, \left[\frac{L}{l}\right] \quad (37)$$

که در آن ماتریس  $\mathbf{G}^{(p)}$  به صورت زیر تعریف می شود:

$$\mathbf{G}^{(p)} = \begin{bmatrix} \mathbf{G}_m & & & \mathbf{0} \\ \vdots & \mathbf{G}_m & & \\ \mathbf{G}_0 & \vdots & \ddots & \\ & \mathbf{G}_0 & & \mathbf{G}_m \\ & & \ddots & \vdots \\ \mathbf{0} & & & \mathbf{G}_0 \end{bmatrix}_{(p+m)k \times pm} \quad (38)$$

رابطه (۳۷) می تواند در قالب ماتریسی زیر بیان شود:

$$\mathbf{C}^{(l)} = \mathbf{U}^{(l)} \cdot \mathbf{G}^{(p)} \quad (39)$$

که در آن ماتریس  $\mathbf{U}^{(l)}$  به صورت زیر تعریف می شود:

$$\mathbf{U}^{(l)} = [U_1^{(l)} \ U_2^{(l)} \ \dots \ U_{\left[\frac{L}{l}\right]}^{(l)}]^T \quad (40)$$

توزیع دو جمله ای  $\mathcal{B}\left(\left[\frac{L}{l}\right], \frac{1}{2}\right)$  است. در شکل ۲، ناحیه متناظر با  $P_{FA}^{(w,l)}$  به صورت هاشور خورده در سمت چپ حد آستانه مشخص شده است.

فرض کنید  $P_M^{(w,l)}$  احتمال عدم تشخیص صحیح یک بردار تهی با وزن همینگ  $w$  باشد. اگر برداری متعلق به فضای تهی ماتریس  $\mathbf{C}^{(l)}$  باشد، آنگاه وزن همینگ بردار  $S$  آن دارای توزیع دو جمله ای  $\mathcal{B}\left(\left[\frac{L}{l}\right], \varepsilon_s^{(w)}\right)$  است. لذا احتمال  $P_M^{(w,l)}$  برابر خواهد بود با:

$$P_M^{(l)}(w) = F\left(\tau^{(w,l)}, \left[\frac{L}{l}\right], \varepsilon_s^{(w)}\right) = \sum_{z=\tau^{(w,l)}}^{\left[\frac{L}{l}\right]} \binom{\left[\frac{L}{l}\right]}{z} (\varepsilon_s^{(w)})^z (1 - \varepsilon_s^{(w)})^{\left[\frac{L}{l}\right] - z} \quad (29)$$

در شکل ۲، ناحیه متناظر با  $P_M^{(w,l)}$  به صورت هاشور خورده در سمت راست حد آستانه مشخص شده است.

با توجه به تعاریف فوق، احتمال خطای مجموع می تواند به صورت زیر نوشته شود:

$$P_e^{(l)} = \sum_{w=0}^l \lambda^{(w,l)} P_M^{(w,l)} + (1 - \lambda^{(w,l)}) P_{FA}^{(w,l)} \quad (30)$$

که در آن  $\lambda^{(w,l)}$  نسبت بردارهایی است که متعلق به فضای تهی ماتریس  $\mathbf{C}^{(l)}$  بوده و دارای وزن همینگ  $w$  هستند. برای محاسبه حد آستانه بهینه باید احتمال خطای فوق بر حسب مقدار  $\tau^{(w,l)}$  کمینه گردد. توجه داشته باشید که حل این مسئله بهینه سازی نیازمند آگاهی کامل از مقادیر  $\lambda^{(w,l)}$  است. البته این شرط در مسئله تخمین فضای تهی برقرار نیست؛ زیرا وزن همینگ بردارهای تهی را نمی توان پیش از تخمین آن ها تعیین کرد. البته این یک مشکل شایع در مسائل تصمیم گیری بهینه است که غالباً توسط قاعده تصمیم گیری حداقل-بیشینه حل می شود. این قاعده ساده و مؤثر در مسائلی استفاده می شود که توزیع های احتمال پیشین معلوم نیستند. این قاعده در واقع بیش ترین احتمال خطای ممکن را حداقل می کند. توجه داشته باشید که در مسئله تخمین فضای تهی، مقادیر  $\lambda^{(w,l)}$  و  $1 - \lambda^{(w,l)}$  توزیع های احتمال پیشین مجهول هستند. برای یافتن حد آستانه بر مبنای قاعده تصمیم گیری حداقل-بیشینه باید معادله زیر بر حسب پارامتر  $\tau^{(w,l)}$  حل شود [۲۳]:

$$P_M^{(l)}(w) = P_{FA}^{(l)}(w) \quad ; \quad w = 1, 2, \dots, l \quad (31)$$

با توجه به پیچیدگی روابط (۲۸) و (۲۹) واضح است که حل تحلیلی این معادله در حالت کلی ممکن نیست. البته از تقریب زیر می توان برای ساده سازی روابط استفاده کرد:

$$\mathcal{B}(x, p) \approx \mathcal{N}(xp, xp(1-p)) \quad (32)$$

در این رابطه  $\mathcal{N}(xp, xp(1-p))$  یک توزیع نرمال با میانگین  $xp$  و واریانس  $xp(1-p)$  است. البته برای برقراری این تقریب باید مقدار  $x$  به اندازه کافی بزرگ باشد. یک قاعده سرانگشتی معروف برای تأیید بزرگی مقدار  $x$  این است که هر یک از مقادیر  $xp$  و  $x(1-p)$  باید از

باشد. مجموعه این بردارهای تأخیریافته با  $\mathcal{R}_{\mathbf{H}_m, E}^p$  نشان داده می‌شود؛ یعنی:

$$\mathcal{R}_{\mathbf{H}_m, E}^p = \left\{ H_1^m(D), \dots, D^{p-\mu_1^+} H_1^m(D), \dots, H_{\dim(C_p^+)}(D), \dots, D^{p-\mu_{\dim(C_p^+)}^+} H_{\dim(C_p^+)}^m(D) \right\} \quad (46)$$

در این رابطه  $\dim(C_p^+)$  ابعاد  $C_p^+$  را نشان می‌دهد (یعنی تعداد بردارهای کمین-پایه با درجه کم‌تر از  $p$ ). توجه داشته باشید که  $\dim(C_p^+)$  برابر با تعداد بردارهای زیرمجموعه  $\mathcal{R}_{\mathbf{H}_m}^p$  است.

حال فرض کنید که  $\mathcal{R}_{\mathbf{H}_m, E}^{b,p}$  مجموعه‌ای متشکل از بردارهای باینری متناظر با بردارهای مجموعه  $\mathcal{R}_{\mathbf{H}_m, E}^p$  باشد. آنگاه  $\mathcal{R}_{\mathbf{H}_m, E}^{b,p}$  یک مجموعه پایه را برای فضای  $C_{b,p}^+$  تشکیل می‌دهد؛ زیرا تمام بردارهای این مجموعه نسبت به هم مستقل بوده و هر بردار  $C_{b,p}^+$  می‌تواند به صورت ترکیبی خطی از بردارهای مجموعه  $\mathcal{R}_{\mathbf{H}_m, E}^{b,p}$  نوشته شود. در نتیجه ابعاد فضای  $C_{b,p}^+$  برابر با تعداد بردارهای مجموعه  $\mathcal{R}_{\mathbf{H}_m, E}^{b,p}$  است. به راحتی می‌توان نشان داد که این تعداد برابر با مقدار زیر است:

$$\dim(C_{b,p}^+) = \sum_{i=1}^{n-k} \max(0, p - \mu_i^+) \quad (47)$$

با توجه به رابطه (۴۵)، این مقدار برابر با ابعاد فضای  $\ker(\mathbf{G}^{(p)})$  است. لذا مرتبه ماتریس  $\mathbf{G}^{(p)}$  می‌تواند به صورت زیر نوشته شود:

$$\text{rank}(\mathbf{G}^{(p)}) = pn - \sum_{i=1}^{n-k} \max(0, p - \mu_i^+) \quad (48)$$

نهایتاً با ادغام روابط (۴۲) و (۴۸) خواهیم داشت:

$$r_l = \begin{cases} l - \sum_{i=1}^{n-k} \max(0, p - \mu_i^+) & ; \quad l = pn, p = 1, \dots, \left\lfloor \frac{l_{\max}}{n} \right\rfloor \\ l & ; \quad \text{otherwise} \end{cases} \quad (49)$$

برای نرخ  $(n-1)/n$ ، این رابطه می‌تواند به شکل زیر ساده می‌شود:

$$r_l^{\frac{n-1}{n}} = \begin{cases} p(n-1) + \nu & ; \quad l = pn, p > \mu^+ \\ l & ; \quad \text{otherwise} \end{cases} \quad (50)$$

این رابطه مشابه با روابطی است که در [۱۰، ۱۱] پیشنهاد شده‌اند. با توجه به (۴۹)، این رابطه تنها به ازای کدهای نرخ  $(n-1)/n$  برقرار است.

## ۶- الگوریتم پیشنهادی

تاکنون روش‌هایی در [۱۰-۱۸] برای تخمین پارامترهای کد کانولوشنال پیشنهاد شده است. اما همان‌گونه که پیش از این نیز اشاره شد، این روش‌ها تنها برای کدهای نرخ  $(n-1)/n$  کارایی دارند. لذا در این بخش سعی شده است تا الگوریتمی جامع برای تخمین پارامترهای کد کانولوشنال نرخ  $k/n$  پیشنهاد شود. در این الگوریتم از روش GERP برای تخمین مرتبه و فضای تهی ماتریس‌های  $\mathbf{C}^{(l)}$  استفاده می‌شود. تخمین پارامترهای کد نیز بر مبنای خواص ماتریس‌های  $\mathbf{C}^{(l)}$  که در بخش ۵ حاصل شد، انجام می‌شود. این خواص به طور خلاصه در زیر لیست شده‌اند:

اگر ورودی کدگذار یک بردار کاملاً تصادفی باشد، آنگاه مرتبه ماتریس  $\mathbf{U}^{(l)}$  با احتمال بسیار زیاد کامل است. در این حالت از رابطه (۳۹) خواهیم داشت:

$$\text{span}(\mathbf{C}^{(pn)}) = \text{span}(\mathbf{G}^{(p)}) \quad ; \quad p = 1, 2, \dots, \left\lfloor \frac{l_{\max}}{n} \right\rfloor \quad (41)$$

در این رابطه  $\text{span}(\cdot)$  فضای سطری ماتریس را نشان می‌دهد.

توجه کنید که روابط (۳۷) و (۳۹) تنها به ازای طول‌های مضرب  $n$  برقرار هستند. به ازای طول‌هایی که مضربی از  $n$  نیستند، ماتریس  $\mathbf{C}^{(l)}$  دارای ساختار معناداری نبوده و می‌توان آن را به صورت یک ماتریس کاملاً تصادفی در نظر گرفت. لذا مرتبه ماتریس خروجی به ازای این طول‌ها با احتمال بسیار زیاد کامل است. به طور کلی، مرتبه ماتریس  $\mathbf{C}^{(l)}$  می‌تواند به صورت زیر خلاصه شود:

$$r_l = \begin{cases} \text{rank}(\mathbf{G}^{(p)}) & ; \quad l = pn, p = 1, \dots, \left\lfloor \frac{l_{\max}}{n} \right\rfloor \\ l & ; \quad \text{otherwise} \end{cases} \quad (42)$$

که در آن  $r_l$  مرتبه ماتریس  $\mathbf{C}^{(l)}$  است. با توجه به این رابطه، مرتبه ماتریس  $\mathbf{C}^{(p)}$  می‌تواند توسط ماتریس  $\mathbf{G}^{(p)}$  توصیف شود. لذا در ادامه، مرتبه ماتریس  $\mathbf{G}^{(p)}$  به صورت تحلیلی محاسبه می‌شود.

فرض کنید  $H(D) = [h_1(D) \dots h_n(D)]$  یک بردار چندجمله‌ای تهی با درجه  $p-1$  در فضای  $C^+$  باشد. همچنین فرض کنید  $H(D) = [h_1^{p-1} h_1^{p-2} \dots h_n^{p-1} \dots h_1^0 h_2^0 \dots h_n^0]$  بردار باینری متناظر با  $H(D)$  باشد که در آن  $h_i^j$  ضریب جمله  $D^j$  در چندجمله‌ای  $h_i(D)$  است.

آنگاه رابطه (۱۰) می‌تواند به سادگی در قالب باینری زیر بازنویسی شود:

$$\mathbf{G}^{(p)} \cdot H^T = \mathbf{0}_{k \times l} \quad (43)$$

حال فرض کنید که  $C_p^+ \subset C^+$  مجموعه‌ای متشکل از بردارهای تهی با درجه‌ای کم‌تر از  $p$  بوده و  $C_{b,p}^+$  نیز فضای باینری متناظر با آن باشد؛ یعنی:

$$C_{b,p}^+ = \{H \mid H(D) \in C^+, \deg(H(D)) < p\} \quad (44)$$

آنگاه با توجه به رابطه (۴۳) می‌توان گفت که بین بردارهای فضای  $C_{b,p}^+$  و بردارهای فضای تهی  $\mathbf{G}^{(p)}$  تناظر یک‌به‌یک وجود دارد:

$$\ker(\mathbf{G}^{(p)}) \equiv C_{b,p}^+ \quad ; \quad p = 1, 2, \dots, \left\lfloor \frac{l_{\max}}{n} \right\rfloor \quad (45)$$

تابع  $\ker(\cdot)$  در این رابطه فضای تهی ماتریس را نشان می‌دهد. بر طبق رابطه (۴۵)، ابعاد فضای تهی ماتریس  $\mathbf{G}^{(p)}$  برابر با ابعاد فضای  $C_{b,p}^+$  است. لذا در ادامه ابعاد فضای  $C_{b,p}^+$  محاسبه می‌شود.

فرض کنید  $\mathcal{R}_{\mathbf{H}_m} = \{H_1^m(D), \dots, H_{n-k}^m(D)\}$  یک مجموعه کمین-پایه برای فضای  $C^+$  باشد. بردارهای این مجموعه بر حسب درجه چندجمله‌ای‌ها شماره‌گذاری شده‌اند؛ یعنی درجه بردار  $H_i^m(D)$  برابر با  $\mu_i^+$  است. فرض کنید  $\mathcal{R}_{\mathbf{H}_m}^p \subset \mathcal{R}_{\mathbf{H}_m}$  زیرمجموعه‌ای متشکل از بردارهای کمین-پایه با درجه‌ای کم‌تر از  $p$  باشد. آنگاه واضح است که  $\mathcal{R}_{\mathbf{H}_m}^p$  یک مجموعه کمین-پایه را برای مجموعه باینری  $C_p^+$  تشکیل می‌دهد. به علاوه تمام نسخه‌های تأخیریافته بردارهای موجود در  $\mathcal{R}_{\mathbf{H}_m}^p$  نیز متعلق به  $C_p^+$  هستند؛ البته مشروط به این که درجه آن‌ها کم‌تر از  $p$



**مرحله (۳) تخمین:**  $k$ : تعداد قیود طول دوگان برابر با  $n-k$  است. در نتیجه پارامتر  $k$  می‌تواند از تفاضل مقدار  $n$  و تعداد قیود طول دوگان تعیین شود.

**مرحله (۴) تخمین:**  $v$ : بر طبق رابطه (۸)، پارامتر  $v$  می‌تواند از مجموع قیود طول دوگان تعیین شود.

**مرحله (۵) تخمین  $H_s(D)$  (ماتریس بررسی توازن سیستماتیک):** تخمین ماتریس  $H_s(D)$  نیازمند تخمین یک مجموعه پایه برای فضای  $C^\perp$  است. با توجه به خاصیت (۴)،  $C_{\mu^\perp}^\perp$  چنین مجموعه‌ای را در خود جای داده است. مجموعه  $C_{\mu^\perp}^\perp$  نیز با توجه به خاصیت (۵) می‌تواند از فضای تهی ماتریس  $C^{((\mu^\perp+1)n)}$  تعیین شود. برای انجام این کار تنها کافی است که بردارهای فضای تهی ماتریس  $C^{((\mu^\perp+1)n)}$  به بردارهای چندجمله‌ای متناظر خود نگاشته شوند. فضای تهی ماتریس  $C^{((\mu^\perp+1)n)}$  نیز می‌تواند با استفاده از روش GERP تخمین زده شود.

پس از تعیین مجموعه  $C_{\mu^\perp}^\perp$  باید  $n-k$  بردار مستقل از آن استخراج شود. ساده‌ترین روش برای انجام این کار، اعمال الگوریتم حذف گوس-جردن بر روی ماتریسی متشکل از بردارهای مجموعه  $C_{\mu^\perp}^\perp$  است. اعمال این الگوریتم، ماتریس سیستماتیک  $H_s(D) = [I_{n-k} | P]$  را نتیجه می‌دهد ( $I_{n-k}$  ماتریسی همانی با ابعاد  $n-k \times n-k$  است).

**مرحله (۶) تخمین  $G_s(D)$  (ماتریس مولد سیستماتیک):** همان‌گونه که در بخش ۳ اشاره شد، تخمین ماتریس مولد اصلی کدگذار از رشته دریافتی میسر نیست. با این حال امکان تخمین ماتریس مولد سیستماتیک وجود دارد. اگر  $H_s(D) = [I_{n-k} | P]$  ماتریس بررسی توازن سیستماتیک باشد، آنگاه به سادگی خواهیم داشت:  $G_s(D) = [P^T | I_k]$  ( $I_k$  ماتریسی همانی با ابعاد  $k \times k$  است). الگوریتم پیشنهادی به صورت فلوجارت در شکل ۳ ارائه شده است.

## ۷- نتایج شبیه‌سازی

در این بخش چند مثال شبیه‌سازی برای بررسی عملکرد الگوریتم پیشنهادی ارائه می‌شود. جزئیات دقیق کدهای کانولوشنالی که در این بخش شبیه‌سازی می‌شوند، در جدول ۱ ذکر شده است. در این جدول، ماتریس‌های مولد در مبنای ۸ نمایش داده شده‌اند. در این روش نمایش، ضرایب چندجمله‌ای  $g_{ij}^m D^m + \dots + g_{ij}^1 D + g_{ij}^0$  به صورت باینری  $(g_{ij}^0 \ g_{ij}^1 \ \dots \ g_{ij}^m)_2$  نوشته شده و سپس هر سه بیت متوالی به مبنای ۸ تبدیل می‌شود. اگر تعداد بیت‌ها مضربی از ۳ نباشد، چند بیت صفر از سمت چپ به عدد باینری اضافه می‌شود. به عنوان مثال معادل هشت-هشتی چندجمله‌ای  $1 + D + D^3 + D^6$  برابر با  $(151)_8 = (0011101001)_2$  است (دو بیت صفر به سمت چپ عدد باینری اضافه شده‌اند).

**خاصیت (۱)** با توجه به رابطه (۴۹)، مرتبه ماتریس  $C^{(l)}$  به ازای تمام طول‌هایی که مضربی از  $n$  نیستند، کامل است.

**خاصیت (۲)** با توجه به رابطه (۴۹)، مرتبه ماتریس  $C^{(l)}$  تنها به ازای طول‌های  $l_i = (\mu_1^\perp + i)n, i = 1, \dots, \left\lfloor \frac{l_{max}}{n} \right\rfloor$  کامل نیست.

**خاصیت (۳) تعریف**  $\delta_p = r_{(p-1)n} - 2r_{pn} + r_{(p+1)n}$  را در نظر بگیرید. از رابطه (۴۹) می‌توان نشان داد که  $\delta_p$  برابر با تعداد قیود طول دوگان  $p-1$  است.

**خاصیت (۴)** بردارهای موجود در زیرمجموعه  $C_{\mu^\perp}^\perp$  یک مجموعه پایه را برای فضای  $C^\perp$  تشکیل می‌دهند.

**خاصیت (۵)** اگر بردار  $H$  در فضای تهی ماتریس  $C^{((p+1)n)}$  قرار داشته باشد، آنگاه بردار چندجمله‌ای متناظر با آن متعلق به زیرمجموعه  $C_p^\perp \subset C^\perp$  است.

با توجه به این خواص، پارامترهای کد کانولوشنال می‌توانند به صورت زیر تخمین زده شوند:

**مرحله (۱) تخمین  $n$ :** با توجه به خاصیت (۲)، تفاضل طول‌های متناظر با هر دو ماتریس خروجی متوالی که مرتبه کامل ندارند، برابر با  $n$  است. در نتیجه برای تعیین پارامتر  $n$  باید تخمین مرتبه ماتریس‌های  $C^{(l)}$  را (با استفاده از روش GERP) تا یافتن دو ماتریس خروجی که دارای مرتبه کامل نیستند، ادامه داد. سپس مقدار پارامتر  $n$  از تفاضل طول‌های متناظر با این دو ماتریس حاصل می‌شود. با توجه به خاصیت (۲)، این ماتریس‌ها در طول‌های  $l_1 = (\mu_1^\perp + 1)n$  و  $l_2 = (\mu_1^\perp + 2)n$  قرار دارند. لذا پارامتر  $n$  می‌تواند در طول  $l_2$  تخمین زده شود. بدیهی است که پس از تخمین پارامتر  $n$  می‌توان از محاسبه مرتبه ماتریس‌های خروجی در طول‌هایی که مضربی از  $n$  نیستند، صرف‌نظر نمود؛ زیرا با توجه به خاصیت (۱)، مرتبه ماتریس  $C^{(l)}$  در این طول‌ها کامل است. انجام این کار در کاهش پیچیدگی محاسباتی الگوریتم بسیار مؤثر است.

**مرحله (۲) تخمین  $\mu_1^\perp, \dots, \mu_{n-k}^\perp$ :** با توجه به خاصیت (۳)، از مقدار  $\delta_p$  می‌توان برای تعیین قیود طول دوگان استفاده کرد. برای انجام این کار باید  $\delta_p$  به ازای مقادیر مختلف  $p \geq \mu_1^\perp$  محاسبه شود. اگر مقدار  $\delta_p$  غیرصفر باشد، می‌توان نتیجه گرفت که کد موردنظر دقیقاً دارای  $\delta_p$  قید طول دوگان  $p-1$  است. مقدار صفر  $\delta_p$  نیز شاخصی برای عدم وجود قید طول دوگان  $p-1$  است.

با روش فوق می‌توان تمام قیود طول دوگان را به سادگی تعیین کرد. با توجه به خاصیت (۳)، مقدار  $\delta_p$  بعد از آخرین قید طول دوگان (یعنی  $\mu^\perp > p$ ) همواره برابر با صفر است. لذا توقف روند جستجوی قیود طول دوگان نیازمند تعریف یک مقدار برای تعداد تکرار است. ما این تعداد را با  $j_{max}$  نشان می‌دهیم. بر طبق این تعریف، اگر مقدار  $\delta_p$  بعد از  $j_{max}$  تکرار متوالی برابر با صفر باشد، جستجوی قیود طول دوگان متوقف می‌شود. معمولاً فاصله بین قیود طول دوگان در کدهای عملی از مقدار ۵ تجاوز نمی‌کند. از این رو ما مقدار ۵ را برای  $j_{max}$  پیشنهاد می‌دهیم.

جدول ۱: جزئیات کدهای کانولوشنال شبیه‌سازی شده

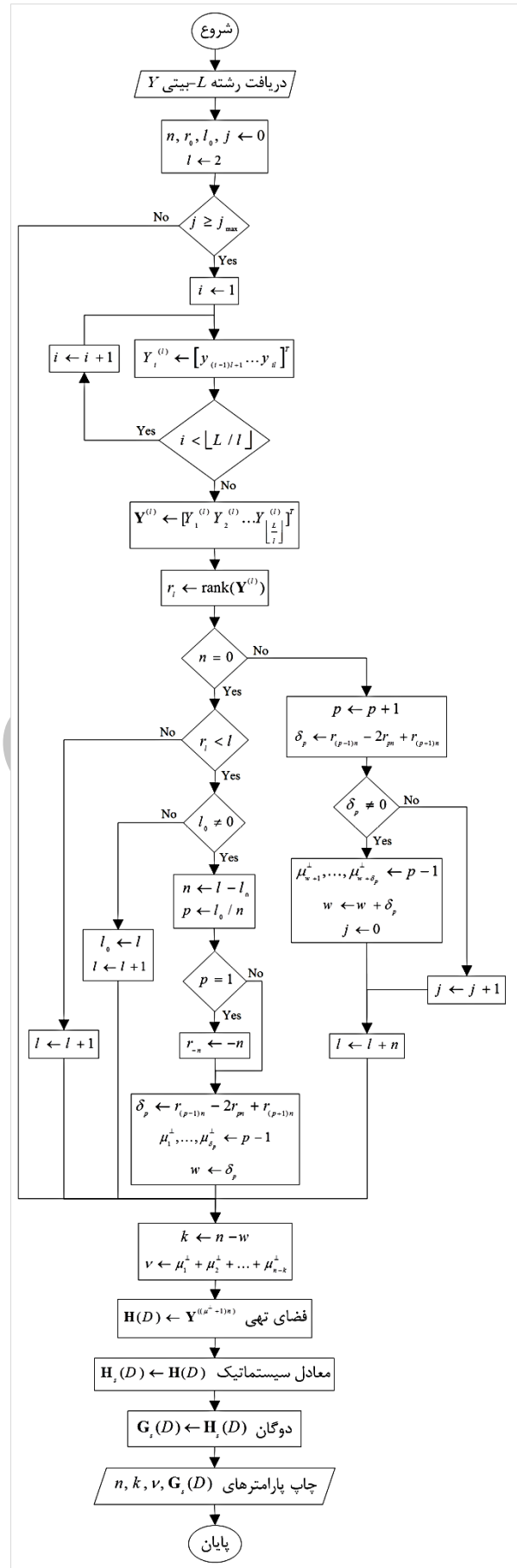
Code	$G(D)$	n	k	$\nu$	$\mu_1^+, \dots, \mu_{n-k}^+$
$C_1$	[345 237]	2	1	7	7
$C_2$	$\begin{bmatrix} 4 & 7 & 13 \\ 0 & 16 & 2 \end{bmatrix}$	3	2	4	4
$C_3$	[23 36 30]	3	1	4	2, 2
$C_4$	$\begin{bmatrix} 1 & 13 & 10 & 16 & 7 \\ 6 & 16 & 11 & 5 & 17 \end{bmatrix}$	5	2	6	1, 2, 3

به ازای هر کدام از کدهای کانولوشنال، مراحل شبیه‌سازی زیر ۳۰۰ بار اجرا شده‌اند:

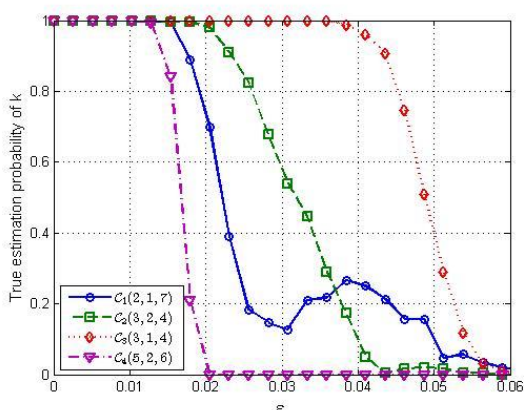
- ۱- تولید یک رشته تصادفی باینری
- ۲- کد کردن رشته تصادفی توسط کدگذار کانولوشنال
- ۳- انتخاب  $L = 2000$  بیت اول از خروجی کدگذار
- ۴- عبور رشته کد از یک کانال BSC
- ۵- تخمین پارامترهای کد کانولوشنال توسط الگوریتم پیشنهادی
- ۶- مقایسه پارامترهای تخمینی با مقادیر واقعی

در شکل ۴، احتمال تخمین صحیح پارامتر  $n$  برحسب احتمال خطای کانال رسم شده است. از مرحله (مرحله ۱) بخش ۶ می‌دانیم که تخمین صحیح پارامتر  $n$  تنها به تشخیص نقصان مرتبه (و نه مقدار دقیق مرتبه) در طول‌های  $n(\mu_1^+ + 1)$  و  $n(\mu_1^+ + 2)$  بستگی دارد. به-طور کلی، عملکرد روش GERP با افزایش طول ماتریس خروجی کاهش می‌یابد. لذا احتمال تخمین صحیح  $n$  با افزایش مقدار  $n(\mu_1^+ + 2)$  کاهش خواهد یافت. البته مقدار مرتبه در طول‌های مذکور نیز بسیار تاثیرگذار است؛ زیرا تشخیص نقصان مرتبه به این معناست که حداقل یکی از بردارهای فضای دوگان به درستی تشخیص داده شوند. در نتیجه افزایش مقدار نقصان مرتبه به معنای افزایش احتمال تشخیص نقصان مرتبه است. مقدار  $n(\mu_1^+ + 2)$  برای کدهای جدول ۱ به ترتیب برابر با ۱۸، ۱۸، ۱۲ و ۱۵ است. همان‌گونه که در شکل ۴ نیز دیده می‌شود، بهترین عملکرد متعلق به کد  $C_3(3,1,4)$  است؛ زیرا هم دارای کم‌ترین مقدار  $n(\mu_1^+ + 2)$  بوده و هم از بیش‌ترین مقدار نقصان مرتبه نسبت به کدهای دیگر برخوردار است. همچنین دقت کنید که مقدار  $n(\mu_1^+ + 2)$  برای کدهای  $C_1(2,1,7)$  و  $C_2(3,2,4)$  برابر با ۱۸ است. باین‌حال کد  $C_2(3,2,4)$  به دلیل داشتن نقصان مرتبه بیش‌تر از احتمال تشخیص صحیح بهتری برخوردار است.

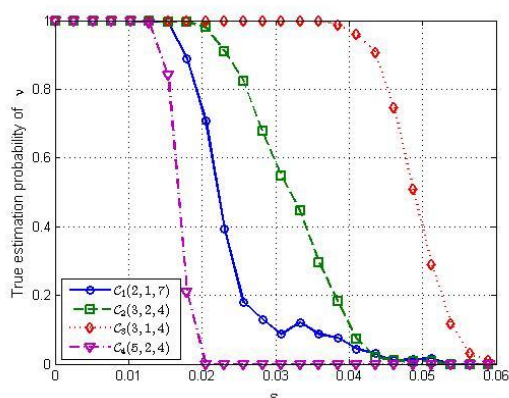
در شکل‌های ۵ تا ۷، احتمال تشخیص صحیح پارامترهای  $k$ ،  $\nu$  و  $G_s(D)$  برحسب احتمال خطای کانال رسم شده است. همان‌گونه که در این شکل‌ها دیده می‌شود، این سه پارامتر دارای احتمال تخمین تقریباً یکسانی هستند. علت اصلی این شباهت، وابستگی این سه پارامتر به قیود طول دوگان است. با توجه به مراحل تخمین (۲) تا (۶) که در بخش ۵ ارائه شد، تخمین اشتباه قیود طول دوگان منجر به تخمین اشتباه این سه پارامتر می‌شود.



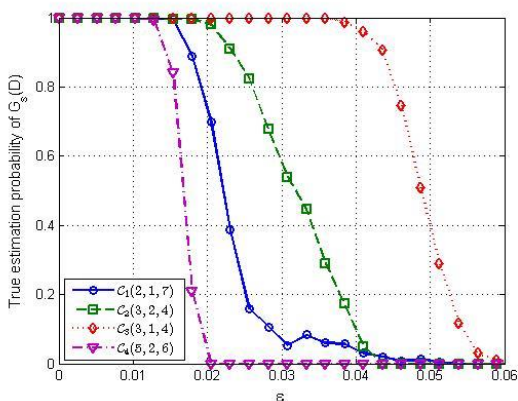
شکل ۳: الگوریتم تخمین پارامترهای کد کانولوشنال



شکل ۵: احتمال تخمین صحیح پارامتر  $k$  بر حسب نرخ خطای کانال



شکل ۶: احتمال تخمین صحیح پارامتر  $v$  بر حسب نرخ خطای کانال

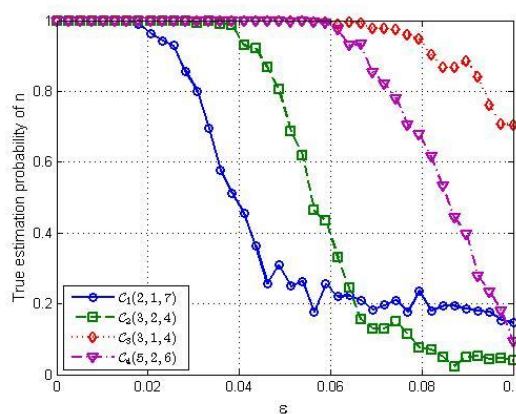


شکل ۷: احتمال تخمین صحیح  $G_s(D)$  بر حسب نرخ خطای کانال

با توجه به مرحله (مرحله ۲) در بخش ۵، تخمین صحیح قیود طول دوگان به تخمین صحیح مرتبه تا طول  $l_{max} = (\mu^+ + j_{max} + 1)n$  بستگی دارد. از طرف دیگر می‌دانیم که عملکرد روش GERP با افزایش طول ماتریس‌های خروجی کاهش می‌یابد. لذا احتمال تخمین صحیح پارامترهای  $k$ ،  $v$  و  $G_s(D)$  با افزایش مقدار  $l_{max}$  کاهش می‌یابد. به علاوه انتظار می‌رود که احتمال تخمین این پارامترها بسیار کم‌تر از پارامتر  $n$  باشد. مقدار  $l_{max}$  (به ازای  $j_{max} = 5$ ) برای کدهای جدول ۱ به ترتیب برابر با ۲۶، ۳۰، ۲۴ و ۴۵ است. همان‌گونه که در شکل‌های ۵ تا ۷ نیز دیده می‌شود، بهترین و بدترین عملکرد به ترتیب متعلق به کدهای  $C_4(5,2,6)$  و  $C_3(3,1,4)$  است. البته با توجه به تحلیل فوق انتظار می‌رفت که احتمال تخمین پارامترهای  $k$ ،  $v$  و  $G_s(D)$  برای کد  $C_1(2,1,7)$  بهتر از کد  $C_2(3,2,4)$  باشند؛ ولی نتایج شبیه‌سازی خلاف این را نشان می‌دهند. علت اصلی این است که تخمین صحیح قیود طول دوگان به تخمین صحیح پارامتر  $n$  وابسته است. لذا احتمال تخمین صحیح پارامترهای  $k$ ،  $v$  و  $G_s(D)$  همواره کم‌تر از پارامتر  $n$  است.

### ۸- نتیجه‌گیری

در این مقاله به مسئله تخمین پارامترهای کد کانولوشنال نرخ  $k/n$  در شرایط نویزی پرداخته شد. روش تخمین مبتنی بر مرتبه یکی از مهم‌ترین روش‌هایی است که تا کنون برای این مسئله پیشنهاد شده است. این روش بر مبنای مرتبه ماتریس‌های خروجی کدگذار عمل می‌کند. در این راستا رابطه‌ای کاملاً تجربی در [۱۰، ۱۱] برای مرتبه این ماتریس پیشنهاد شد که البته در حالت کلی برقرار نیست. لذا در این مقاله رابطه دقیق مرتبه برای نرخ  $k/n$  محاسبه شد. نتایج نشان می‌دهند که روابط پیشنهادی در [۱۰-۱۸] تنها در نرخ  $(n-1)/n$  برقرار هستند. در نتیجه روش‌هایی که در کارهای پیشین پیشنهاد شده‌اند، تنها برای کدهای نرخ  $(n-1)/n$  کارایی دارند. لذا در این مقاله، الگوریتمی جامع برای تخمین پارامترهای کد کانولوشنال نرخ  $k/n$  پیشنهاد شد. نتایج شبیه‌سازی نشان می‌دهند که الگوریتم پیشنهادی از عملکرد بسیار خوبی برخوردار است.



شکل ۸: احتمال تخمین صحیح پارامتر  $n$  بر حسب نرخ خطای کانال

### مراجع

- [۱] امیرمسعود مولائی کرمانی، محمدحسین صدیقی و حسین ابراهیم‌نژاد، «استگانوگرافی کور مبتنی بر کدهای Reed-Solomon و جدول جانشانی پهنه با بهبود بار مفید جاسازی و مقاومت»، «مجله مهندسی برق دانشگاه تبریز، دوره ۴۳، شماره ۲، صفحه ۴۳-۵۹، ۱۳۹۲».
- [۲] احسان اولیائی ترشیزی و حسین شریفی، «ارائه دو الگوریتم دیکدینگ هیبرید جدید با عملکرد بسیار خوب و پیچیدگی بسیار

- [17] Z. Jing, H. Zhiping, S. Shaojing, and Z. Yimeng, "Blind identification of convolutional codes in soft-decision situations," *International Journal of Modern Communication Technologies Research (IJMCTR)*, vol. 2, no. 4, 2014.
- [18] S. Su, J. Zhou, Z. Huang, C. Liu, and Y. Zhang, "Blind identification of convolutional encoder parameters," *The Scientific World Journal*, vol. 2014, article ID: 798612, 2014.
- [19] Y. Zrelli, R. Gautier, M. Marazin, E. Rannou, and E. Radoi, "Focus on theoretical properties of blind convolutional codes identification methods based on rank criterion," *Proceeding of the 9th International Conference on Communications (COMM)*, pp. 353-356, 2012.
- [20] G. D. Forney, R. Johannesson, and Z. X. Wan, "Minimal and canonical rational generator matrices for convolutional codes," *IEEE Transactions on Information Theory*, vol. 42, no. 6, pp. 1865-1880, 1996.
- [21] G. D. Forney, "Convolutional codes I: algebraic structure," *IEEE Transactions on Information Theory*, vol. 16, no. 6, pp. 720-738, 1970.
- [22] S. Lin, and D. J. Costello, *Error Control Coding: Fundamentals and Applications*, second edition, Prentice Hall, Englewood Cliffs, NJ, 2004.
- [23] M. Barkat, *Signal Detection and Estimation*, second edition, Norwood, MA, Artech House Inc., 2005.
- کم برای دیکدینگ کدهای LDPC، «مجله مهندسی برق دانشگاه تبریز، دوره ۴۵، شماره ۲، صفحه ۲۷-۳۷، ۱۳۹۴.
- [3] B. Rice, "Determining the parameters of a rate 1/n convolutional encoder over GF(q)," *Proceeding of 3th International Conference on Finite Fields and Applications*, 1995.
- [4] E. Filiol, "Reconstruction of convolutional encoders over GF(p)," *Proceeding of the 6th IMA Conference on Cryptography and Coding*, vol. 1355, pp. 100-110, 1997.
- [5] J. Barbier, "Reconstruction of turbo-code encoders," *Proceeding of SPIE Security and Defense Space Communication Technologies*, vol. 5819, pp. 463-473, 2005.
- [6] F. Wang, Z. Huang, and Y. Zhou, "A method for blind recognition of convolution code base on Euclidean algorithm," *IEEE International Conference on Wireless Communications, Networking and Mobile Computing (WiCom)*, pp. 1414-1417, 2007.
- [7] X. Hui, C. Xian, W. Feng, and H. Zhi, "A method for blind identification of rate 1/2 convolutional code based on improved Euclidean algorithm," *IEEE International Conference on Signal Processing (ICSP)*, vol. 2, pp. 1307-1310, 2012.
- [8] J. Dingel, and J. Hagenauer, "Parameter estimation of a convolutional encoder from noisy observations," *IEEE International Symposium on Information Theory (ISIT)*, pp. 1776-1780, 2007.
- [9] R. Moosavi, and E. G. Larsson, "Fast blind recognition of channel codes," *IEEE Transactions on Communications*, vol. 62, no. 5, pp. 1393-1405, 2014.
- [10] M. Marazin, R. Gautier, and G. Burel, "Blind recovery of the second convolutional encoder of a turbo-code when its systematic outputs are punctured," *Journal of Military Technical Academy (MTA)*, vol. 19, no. 2, pp. 213-232, 2009.
- [11] Y. Zrelli, M. Marazin, R. Gautier, and E. Rannou, "Blind identification of convolutional encoder parameters over GF(2<sup>m</sup>) in the noiseless case," *International Conference on Computer Communications and Networks (ICCCN)*, pp. 1-5, 2011.
- [12] M. Marazin, R. Gautier, and G. Burel, "Dual code method for blind identification of convolutional encoder for cognitive radio receiver design," *IEEE GLOBECOM Workshops*, pp. 1-6, 2009.
- [13] M. Marazin, R. Gautier, and G. Burel, "Blind recovery of k/n rate convolutional encoders in a noisy environment," *EURASIP Journal on Wireless Communications and Networking*, vol. 2011, no. 168, pp. 1-9, 2011.
- [14] Y. Wang, F. Wang, and Z. Huang, "Blind recognition of (n, k, m) convolutional code based on local decision in a noisy environment," *International Conference on Automation, Mechanical Control and Computational Engineering (AMCCE)*, doi: 10.2991/amcce-15.2015.103, 2015.
- [15] M. Marazin, R. Gautier, and G. Burel, "Algebraic method for blind recovery of punctured convolutional encoders from an erroneous bit stream," *IET Signal Processing*, vol. 6, no. 2, pp. 122-131, 2012.
- [16] W. Chen, and G. Wu, "Blind recognition of (n-1)/n rate punctured convolutional encoders in a noisy environment," *Journal of Communications*, vol. 10, no. 4, 2015.

#### زیرنویس‌ها

<sup>1</sup> Reed-Solomon Code

<sup>2</sup> Low-Density Parity-Check Code

<sup>3</sup> Non-Cooperative Communication

<sup>4</sup> Cognitive Radio

<sup>5</sup> Convolutional Code

<sup>6</sup> Euclidean Algorithm

<sup>7</sup> Log-Likelihood Ratio

<sup>8</sup> Rank Based Estimation Method

<sup>9</sup> Gauss Elimination with Row Pivoting

<sup>10</sup> Punctured

<sup>11</sup> Minimax Decision Rule

<sup>12</sup> Minimal-Basic

<sup>13</sup> Constraint Lengths

<sup>14</sup> Parity-Check Matrix

<sup>15</sup> Pivot

<sup>16</sup> Hamming Weight

<sup>17</sup> Binary Symmetric Channel

<sup>18</sup> Binomial Distribution